

# کاهش هزینه محاسباتی تحلیل سازه‌های بنایی در مقیاس مزو با استفاده از ترکیب بهینه‌سازی توپولوژی و معیار تسلیم دراگر-پراگر

نیما خرمی<sup>۱</sup>، علی نیکخو<sup>۲\*</sup>، علی سعداله<sup>۳</sup>، علی پرمنون<sup>۴</sup>، فرزاد حجازی<sup>۵</sup>

- ۱- دانشجوی دکتری سازه، دانشکده مهندسی عمران، دانشگاه علم و فرهنگ تهران
- ۲- دانشیار، دانشکده مهندسی عمران، دانشگاه علم و فرهنگ تهران
- ۳- استادیار، دانشکده مهندسی مکانیک، دانشگاه علم و فرهنگ تهران
- ۴- دکتری مهندسی سازه، دانشکده مهندسی عمران، دانشگاه رازی کرمانشاه
- ۵- دانشیار، دانشکده مهندسی عمران، دانشگاه پترا مالزی

پست الکترونیکی نویسندگان:

- ۱- [shsh70@yahoo.com](mailto:shsh70@yahoo.com) / [khorami.nimaa@gmail.com](mailto:khorami.nimaa@gmail.com)
- ۲- [nikkoo@usc.ac.ir](mailto:nikkoo@usc.ac.ir)
- ۳- [sadollah@usc.ac.ir](mailto:sadollah@usc.ac.ir)
- ۴- [permanoon.ali@gmail.com](mailto:permanoon.ali@gmail.com)
- ۵- [farzad.hejazi@uwe.ac.uk](mailto:farzad.hejazi@uwe.ac.uk)

## چکیده:

مدل‌سازی عددی سازه‌های بنایی در مقیاس مزو علی‌رغم هزینه محاسباتی بالا، به دلیل دقت بالای نتایج، همواره مورد توجه محققان بوده است. در این مقاله رویکرد جدیدی با استفاده از ترکیب بهینه‌سازی توپولوژی و معیار تسلیم در اگر-پراگر برای کاهش حجم محاسبات تحلیل سازه‌های بنایی در مقیاس مزو ارائه شده است. در روش پیشنهادی، ابتدا مدل‌های عددی در مقیاس ماکرو با استفاده از معیار تسلیم دراگر-پراگر در چندین گام متوالی تحت تحلیل بهینه‌سازی توپولوژی قرار می‌گیرند تا نواحی مستعد ترک‌خوردگی شناسایی شوند؛ در ادامه این نواحی در یک مدل عددی بهینه شده در مقیاس مزو و سایر نواحی که مستعد آسیب نیستند در مقیاس ماکرو مدل می‌شوند تا حجم محاسبات کاهش یابد. در ادامه روش پیشنهادی توسط مثال‌های عددی دیوارهای بنایی مورد تایید قرار گرفت؛ به صورتی که حجم محاسبات در مثال اعتبار سنجی ۲۱٪، مثال اول ۱۵/۶٪، مثال دوم ۶۳/۵٪ و در مثال سوم ۵۸.۶٪ کاهش پیدا کرد.

واژگان کلیدی: سازه بنایی، مقیاس ماکرو، مقیاس مزو، بهینه‌سازی، بهینه‌سازی توپولوژی

---

\* علی نیکخو، دانشیار دانشکده مهندسی عمران - دانشگاه علم و فرهنگ تهران  
ایمیل: [nikkoo@usc.ac.ir](mailto:nikkoo@usc.ac.ir) (نویسنده مسئول مقاله)

# Reducing Computational Cost of Meso-Scale Analysis of Masonry Structures Using a Combination of Topology Optimization and the Drucker-Prager Yield Criterion

N.Khorami<sup>۱</sup>, A.Nikkhoo<sup>۲\*</sup>, A.Sadollah<sup>۳</sup>, A.Permanoon<sup>۴</sup>, F.Hejazi<sup>۵</sup>

۱- PhD Student in Structural Engineering, University of Science and Culture, Tehran

۲- Associate Professor, Faculty of Civil Engineering, University of Science and Culture, Tehran

۳- Assistant Professor, Faculty of Mechanical Engineering, University of Science and Culture, Tehran

۴- PhD in Structural Engineering, Faculty of Civil Engineering, Razi University, Kermanshah

۵- Associate Professor, Faculty of Civil Engineering, Putra University, Malaysia

## Abstract:

Modeling masonry structures at the meso-scale, while yielding precise results, is often associated with significant computational costs. This paper introduces an innovative approach that mitigates these costs by integrating topology optimization with the Drucker-Prager yield criterion in meso-scale analysis. The proposed method commences with macro-scale numerical models, employing the Drucker-Prager criterion to account for material behavior under loading. The loading process is segmented into multiple incremental steps. At each step, a fraction of the total load is applied to the model, which subsequently undergoes topology optimization. This optimization aims to maximize structural stiffness while adhering to material distribution constraints. Throughout this process, the stress and strain results of each element are recorded at the conclusion of each step and utilized as inputs for the subsequent step. This iterative approach ensures that the stress and strain outcomes derived from the Drucker-Prager yield surface are incorporated into the stiffness maximization process, facilitating the identification of regions susceptible to damage from plastic strain. The regions pinpointed by the optimization algorithm are accumulated over the course of the analysis, highlighting areas within the masonry structure model that are prone to potential damage. These identified regions are then modeled separately at the meso-scale, while other areas remain modeled at the macro-scale. This dual-scale modeling technique drastically reduces computational costs by minimizing the number of meso-scale elements needed. The efficacy of the proposed method was validated through four numerical examples featuring varied boundary conditions and materials. The algorithm successfully identified potential damage zones, and the optimized models exhibited consistent behavior and crack patterns in comparison to fully meso-scale samples. The reductions in computational costs were significant: ۲۱% in the validation model, ۱۵,۶% in the first numerical example, ۶۳,۵% in the second numerical example, and ۵۸,۶% in the third numerical example. This approach demonstrates a substantial advancement in efficiently modeling masonry structures at multiple scales.

**Keywords:** masonry structures, macro-scale, meso-scale, optimization, topology optimization

## ۱. مقدمه و تاریخچه تحقیقات

رویدادهای لرزه‌ای اخیر نشان داده‌اند که سازه‌های بنایی نسبت به سایر سازه‌های مهندسی، آمار تلفات جانی و تخریب بالاتری دارند [۱, ۲]؛ از طرفی با توجه به اینکه بیشتر سازه‌های تاریخی با استفاده از مصالح بنایی ساخته شده‌اند، انتخاب روش مناسب برای تحلیل و مقاوم‌سازی آن‌ها به‌خصوص در برابر زلزله اهمیت زیادی دارد [۳]. برخلاف سازه‌های فولادی و بتنی که عملکرد آن‌ها با استفاده از دستورالعمل و روش‌های تحلیل موجود قابل بررسی است، رفتار سازه‌های بنایی پیچیده، متغیر و غیرخطی است و ساختار ناهمگنی را تشکیل می‌دهند [۴, ۵]. در گذشته بررسی سازه‌های بنایی توسط آزمایش‌های شبیه‌سازی رفتار صورت می‌گرفت؛ که به دلیل هزینه بالا و زمان بردن این روش، روش‌های عددی و توسعه‌ی آن‌ها به‌عنوان یک راهکار مناسب در شناسایی رفتار دقیق این سازه‌ها مورد استفاده قرار گرفت. برخی از روش‌های عددی که در این زمینه کاربرد فراوان دارد می‌توان روش اجزا محدود<sup>۱</sup> [۶]، روش‌های مبتنی بر مکانیک شکست [۷] و روش اجزا گسسته<sup>۲</sup> [۸] را نام برد. روش اجزا محدود مؤثرترین و پرکاربردترین روشی است که به‌سادگی در دسترس است و می‌تواند سازه‌های بنایی را تحت شرایط مرزی و مصالح مختلف با در نظر گرفتن جدیدترین روش‌های تحلیل سازه، در سطوح تسلیم غیرخطی تحلیل کند [۹]. در این روش می‌توان سازه‌های بنایی را با توجه به دقت نتایج مورد نیاز در سه مقیاس میکرو، مزو و ماکرو مدل‌سازی و تحلیل کرد [۱۰, ۱۱]؛ همچنین نتایج این روش را می‌توان برای بهینه‌سازی طراحی سازه‌های بنایی و پیش‌بینی رفتار سازه‌های بنایی موجود استفاده کرد [۱۲]. مدل‌های اجزا محدود در مقیاس ماکرو علی‌رغم سادگی و هزینه محاسباتی مناسب نمی‌توانند به‌خوبی رفتار ریز ساختارهای سازه‌های بنایی را بیان کنند [۱۳, ۱۴]. در این مقیاس مجموعه‌ای از رفتار مکانیکی واحد بنایی، ملات و اندر کنش بین ملات و واحد بنایی به‌عنوان رفتار مکانیکی سازه در نظر گرفته می‌شود و برای ساده‌سازی روند تحلیل، خصوصیات مصالح در

سرتاسر سازه همگن فرض می‌شود [۱۵]. با توجه به رفتار نیمه‌ترد سازه‌های بنایی، آن‌ها در کشش و فشار عملکرد متفاوتی دارند؛ به همین دلیل نواحی دچار خردشدگی و ترک‌خوردگی به‌درستی نمی‌توانند توسط توزیع تنش و کرنش بیان شوند. برای دستیابی به رفتار کلی این سازه‌ها می‌توان از معیار تسلیم دراگر-پراگر در مدل‌سازی عددی مقیاس ماکرو استفاده نمود [۱۶]. این معیار با پارامترهای زاویه اصطکاک داخلی و چسبندگی به خوبی می‌تواند رفتار مصالح ترد و نیمه‌ترد را که در فشار و کشش عملکرد متفاوتی دارند را بیان کند [۱۷]. در تحلیل سازه‌های بنایی در مقیاس مزو رفتار دقیق سازه اهمیت زیادی دارد و به مسیر ترک‌ها و رفتار غیرخطی مصالح توجه زیادی می‌شود. در این مقیاس از المان‌های پیوسته برای واحدهای بنایی و المان‌های تماسی برای مدل‌سازی رفتار ملات استفاده می‌شود [۱۸]. در کنار دقت بالای تحلیل در این مقیاس، به دلیل تعداد بالای درجات آزادی، به قدرت کامپیوتری بالایی احتیاج است؛ به‌صورتی که برای مدل‌سازی سازه‌های بنایی در مقیاس واقعی، مدل‌های در مقیاس مزو غیر عملی و غیرواقعی هستند و هزینه محاسباتی بالایی دارند [۱۹]. فرایند بهینه‌سازی با توجه به متغیر طراحی، در حالت کلی به سه دسته بهینه‌سازی اندازه، شکل و توپولوژی تقسیم می‌شود [۲۰, ۲۱]. بهینه‌سازی توپولوژی یکی از پرکاربردترین انواع بهینه‌سازی است که هدف اصلی آن یافتن بهترین چیدمان مواد به‌منظور بهینه‌سازی یک تابع هدف با توجه به قیدهای طراحی است [۲۲]. روش‌های مختلفی برای بهینه‌سازی توپولوژی توسط محققین توسعه یافته‌است؛ که روش‌های ماده همسان‌گرد جامد با خطا دهی<sup>۳</sup> (SIMP) [۲۳] و بهینه‌سازی ساختاری تکاملی<sup>۴</sup> (ESO) [۲۴] از پرکاربردترین آنها هستند [۲۵]. روش ESO بر اساس ایده حذف تدریجی مواد غیرضروری از یک سازه عمل می‌کند؛ تا جایی که ساختار نهایی به سمت حالت بهینه تکامل پیدا کند. حالت توسعه یافته آن، بهینه‌سازی ساختاری تکاملی دووجهته<sup>۵</sup> است (BESO) [۲۶] که اجازه می‌دهد تا مواد ناکارآمد از یک سازه حذف شوند و مواد کارآمد به‌طور همزمان اضافه شوند. روش BESO به‌طور

<sup>۴</sup>. Evolutionary Structural Optimisation

<sup>۵</sup>. Bidirectional Evolutionary Structural Optimisation

<sup>۱</sup>. Finite Element Method

<sup>۲</sup>. Discrete Element Method

<sup>۳</sup>. Solid Isotropic Material with Penalization

کتر است در مقیاس ماکرو مدل می‌شوند تا حجم محاسبات تحلیل سازه بنایی در مقیاس مزو کاهش یابد.

## ۲. روش پژوهش

دیوار بنایی شکل (۱ الف) که با شرایط مرزی نشان داده شده در راستای چپ به راست پوش داده شده است. ابتدا دیوار در مقیاس ماکرو با در نظر گرفتن سطح تسلیم دراگر-پراگر برای رفتار غیرخطی آن مدل می‌گردد. در ادامه مطابق شکل (۲) بارگذاری پوش آور استاتیکی به چند گام با روش جابجایی کنترل تقسیم می‌شود به صورتی که مجموع جابجایی های هر گام معادل جابجایی کلی در نظر گرفته شده برای دیوار باشد. در هر گام مدل‌ها تحت تحلیل بهینه‌سازی توپولوژی با هدف بیشینه سختی و محدودیت توزیع ماده قرار می‌گیرند و المان‌های موثر دارای تنش و کرنش در هر گام شناسایی می‌شوند. در انتهای هر گام نتایج تنش و کرنش هر المان ذخیره شده و به‌عنوان ورودی در گام بعد مورد استفاده قرار می‌گیرند. در گام بعدی، مدل اجزای محدود دارای تنش و کرنش اولیه ناشی از تحلیل قبلی می‌باشد (تحلیل اجزای محدود با در نظر گرفتن تنش و کرنش اولیه). الگوریتم کلاسیک بهینه‌سازی توپولوژی با رفتار خطی صرفاً نواحی بحرانی را با توجه به گام ۱ در نظر می‌گیرد، به عبارتی نواحی که بر اثر کشش ترک خورده‌اند و همچنین خورد شده‌اند در خروجی الگوریتم مشاهده نمی‌شود. در این مقاله با ارائه رویکرد غیرخطی، این نواحی شناسایی می‌شوند و به عنوان نواحی بحرانی ترک‌خوردگی (کشش) یا خوردشدگی (فشار) برای مدل‌سازی در مقیاس مزو در نظر گرفته می‌شوند. در روش ارائه شده، با اعمال تنش و کرنش گام قبل به عنوان ورودی، تانسور تنش و کرنش اصلاح شده و شناسایی نواحی بحرانی به صورت غیرخطی انجام می‌شود. این فرایند توسط کد ورودی توسط کاربر در برنامه اجزا محدود Ansys Apdl اعمال می‌شود. در ادامه نواحی شناسایی شده توسط الگوریتم بهینه‌سازی به صورت تجمعی ذخیره شده و نواحی مستعد آسیب را در مدل سازه بنایی شکل می‌دهند (شکل ۱-۵). در نهایت این نواحی در یک مدل جداگانه در مقیاس مزو و سایر نواحی در مقیاس ماکرو مدل‌سازی شده و مدل بهینه‌شده را تشکیل می‌دهند (شکل ۱-۵). با توجه به

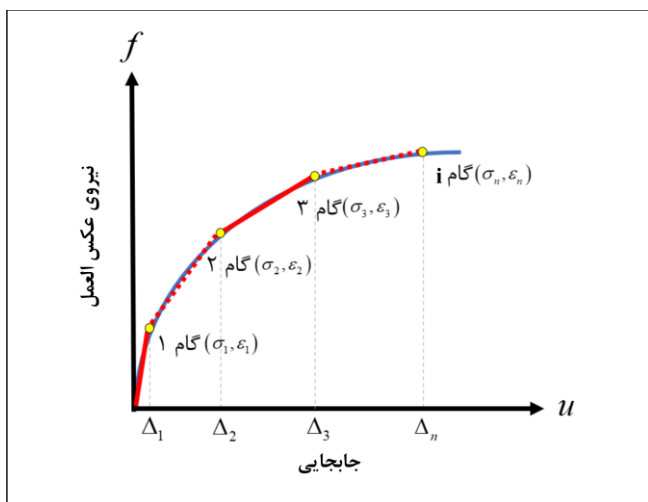
قابل توجهی استحکام فرآیند حل را در مقیاسه با روش ESO افزایش می‌دهد. بهینه‌سازی توپولوژی کلاسیک بر اساس یک ماده واحد توسعه یافته‌است و در مواجهه با سیستم‌های مرکب، استفاده از این رویکرد همواره چالش‌برانگیز بوده است [۲۷, ۲۸]. برای بهینه‌سازی توپولوژی سازه‌هایی که از دو ماده متفاوت تشکیل شده‌اند، معمولاً مواد با راندمان بالا را برای مناطق بحرانی سازه با مقدار تنش یا حساسیت بالا و مواد ناکارآمد را برای قسمت‌های غیر مهمی که مقدار تنش یا حساسیت کم است، تعیین می‌کنند. محققین بر اساس طرح درون یابی مواد و SIMP توانسته‌اند چارچوبی برای انطباق الگوریتم بهینه‌سازی توپولوژی در ساختارهای چند ماده‌ای ارائه کنند اما با توجه به پیچیدگی این موضوع همچنان مطالعه بر روی انطباق الگوریتم بهینه‌سازی در ساختارهای چند ماده‌ای ادامه دارد [۲۹-۳۳]. در طی سال‌های گذشته محققین در تلاش بودند تا با استفاده از بهینه‌سازی توپولوژی بر پایه اجزا محدود، رویکردهای جدیدی در زمینه طراحی بهینه سازه‌ها ارائه دهند [۳۴]. در همین راستا محققان در تلاش بوده‌اند تا با ایجاد تعادل بین کمیت‌های سختی و مقاومت به طراحی مطلوب دست‌یابند. کمینه کردن تنش فون میسز<sup>۱</sup> یکی از الگوریتم‌های پرکاربرد در این زمینه است؛ اما استفاده از این رویکرد به‌خصوص در ساختارهای با رفتار ترد، بیشترین تنش در سازه تحت طراحی را ارائه نمی‌دهد [۳۵, ۳۶]. بیشینه‌سازی سختی نیز یکی دیگر از رویکردهای بهینه‌سازی طراحی به‌شمار می‌رود که بر مبنای کمینه‌سازی انرژی کرنشی، در ساختارهایی که با محدودیت سختی مواجه هستند استفاده می‌شود که نتیجه‌ای تقریباً مشابه با الگوی کمینه‌سازی تنش ارائه می‌دهد [۲۳, ۳۷].

در این مقاله یک روش جدید برای کاهش هزینه محاسباتی مدل‌سازی عددی سازه‌های بنایی در مقیاس مزو ارائه می‌شود؛ به‌صورتی که نمونه‌ها ابتدا با رفتار در اگر-پراگر<sup>۲</sup> الاستیک در گام‌های متوالی تحت تحلیل بهینه‌سازی توپولوژی قرار می‌گیرند و نواحی مستعد آسیب شناسایی می‌شوند. در ادامه در یک مدل جداگانه این مناطق در مقیاس مزو، و سایر مناطق که احتمال آسیب در آن‌ها

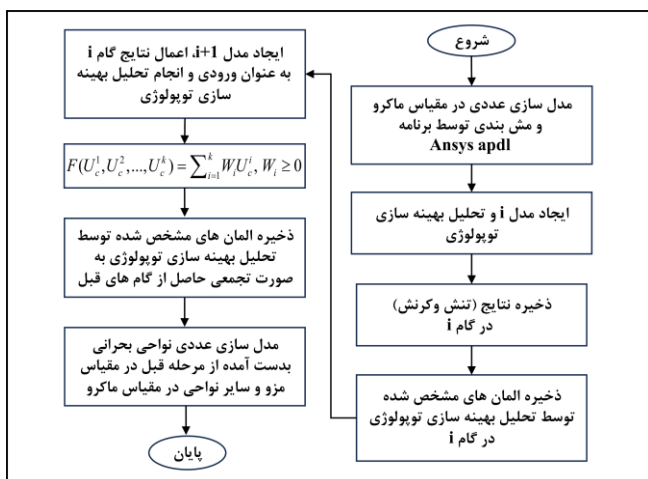
<sup>۱</sup>. Drucker-Prager

<sup>۱</sup>. Von Mises

اینکه در مدل‌های مقیاس مزو درجات آزادی بسیار بیشتر از مدل‌های ماکرو است، در مدل



شکل ۲. نحوه عملکرد فرایند بهینه‌سازی برای شناسایی نواحی بحرانی

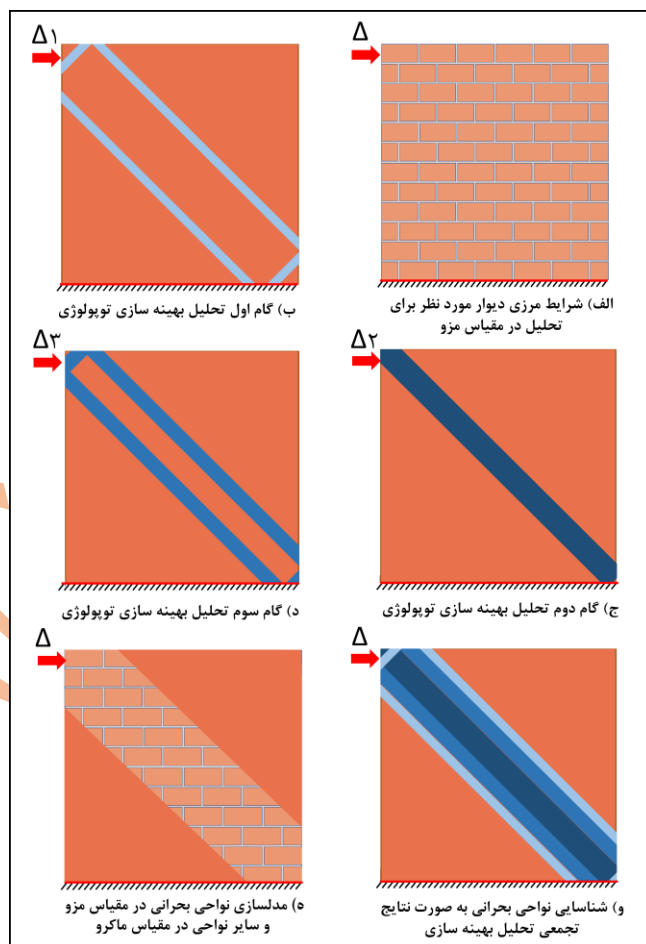


شکل ۳. فلوجارت کاهش هزینه محاسباتی تحلیل سازه بنایی در مقیاس مزو با استفاده از بهینه‌سازی توپولوژی

بهینه‌شده تعداد المان‌ها و گره‌های مقیاس مزو کاهش یافته و جای خود را به المان‌های ماکرو می‌دهند؛ لذا هزینه محاسباتی به مقدار قابل توجهی کاهش پیدا می‌کند. در شکل (۳) فلوجارت کاهش هزینه محاسباتی تحلیل سازه‌های بنایی در مقیاس مزو به صورت منسجم نمایش داده شده است.

### ۳. معادلات حاکم

در روش ارائه شده در این مقاله، نواحی بحرانی توسط الگوریتم بهینه‌سازی توپولوژی در مقیاس ماکرو شناسایی شده و در یک مدل بهینه‌شده این نواحی در مقیاس مزو و سایر نواحی در مقیاس ماکرو



شکل ۱. روند کاهش هزینه محاسباتی تحلیل سازه بنایی در مقیاس مزو توسط بهینه‌سازی توپولوژی

$$\begin{aligned}
 U_c &= a \text{ minimum } \eta_i \\
 \text{subject to } & 0 < \eta_i \leq 1 \quad (i = 1, 2, 3, \dots, N) \\
 V &\leq V_0 - V^*
 \end{aligned}
 \quad (2)$$

در رابطه (۲) ضریب بهینه‌سازی هر المان،  $V$  حجم مدل اجزا محدود،  $V_0$  حجم اولیه و  $V^*$  مقدار ماده‌ای که باید حذف شود است. بهینه‌سازی توپولوژی ممکن است بر اساس یک یا چند ترکیب بارگذاری باشد. بر این اساس مقدار سختی موردنیاز ( $K$ ) در هر ترکیب بارگذاری با اعمال ضریب وزنی طبق رابطه زیر محاسبه می‌شود:

$$F(U_c^1, U_c^2, \dots, U_c^k) = \sum_{i=1}^k W_i U_c^i, W_i \geq 0 \quad (3)$$

در رابطه (۳)،  $W_i$  مقدار ضریب وزنی هر ترکیب بارگذاری بر اساس  $U_c$  است. در ادامه حجم کلی المان‌ها بر اساس رابطه زیر محاسبه می‌شود:

$$\begin{aligned}
 V &= \sum_i \eta_i V_i \\
 [E] &= [E(\eta_i)] \{\sigma_i\} = [E] \{\varepsilon_i\}
 \end{aligned}
 \quad (4)$$

در رابطه (۴)  $V_i$  حجم المان  $i$  ام است. با توجه به اینکه مقدار تانسور مدول الاستیسیته به تانسور هر المان وابسته است، تانسور مدول الاستیسیته به تانسور تنش و کرنش وابسته خواهد شد؛ بنابراین می‌توان نتیجه گرفت المان‌های موردنیاز در یک مسئله دارای بیشترین تنش و کرنش خواهند بود و امکان گسترش ترک در این نواحی بیشتر است. با توجه به ایزوتروپیک<sup>۱</sup> فرض شدن مدل‌های عددی سازه‌های بنایی در مقیاس ماکرو، این وابستگی به جهت تنش یا کرنش محدود نمی‌شود و در تمامی جهات به صورت یکنواخت عمل می‌کند. الگوریتم بهینه‌سازی توپولوژی بصورت معمول در حالت "بیشینه سختی استاتیکی با محدودیت حجم" در روابط (۴-۲)، از سطوح تسلیمی همانند فون میسز با رفتار یکسان در کشش و فشار استفاده می‌کنند. بنابراین زمانیکه رفتار ماده در کشش و فشار یکسان نمی‌باشد الگوریتم بهینه‌سازی توپولوژی دارای دقت مناسبی نمی‌باشد. از این رو در این مقاله از سطح تسلیم دراگر-پراگر برای تحلیل مدل‌های اجزای محدود استفاده شد تا در هنگام کمینه شدن

مدل می‌شوند. در این بخش ابتدا فرمولاسیون بهینه‌سازی توپولوژی بیان شده و در ادامه رفتار مواد نیمه ترد در معیار تسلیم دراگر-پراگر و مدل‌سازی سازه‌های بنایی در مقیاس مزو شرح داده می‌شود.

### ۱.۳. بهینه‌سازی توپولوژی

هدف اصلی این نوع بهینه‌سازی پیدا کردن توزیع بهینه از کسر حجمی مشخص شده از مواد در یک دامنه طراحی انتخاب شده با پیدا کردن طرح بهینه از یک سازه در یک محدوده مشخص شده است [۳۸]؛ در واقع هدف بهینه‌سازی توپولوژی یافتن بهترین چیدمان مواد به منظور بهینه‌سازی یک تابع هدف (سختی، فرکانس طبیعی، تنش) با توجه به قیدهای طراحی است. فرم عمومی مسئله بهینه‌سازی توپولوژی به صورت زیر است:

$$\begin{aligned}
 OBJ &= a \text{ minimum/maximum } \eta_i \\
 \text{s.t. } & \begin{cases} 0 < \eta_i \leq 1 \quad (i=1, 2, 3, \dots, N) \\ \underline{CON}_j \leq \overline{CON}_j \leq \overline{CON}_j \quad (j=1, 2, 3, \dots, N) \end{cases}
 \end{aligned}
 \quad (1)$$

بهینه‌سازی توپولوژی به دنبال کمینه یا بیشینه کردن تابع هدف ( $OBJ$ ) است که به محدودیت‌های تعیین شده ( $CON$ ) وابسته است. در رابطه (۱)، ( $\eta_i$ ) متغیرهای طراحی هستند و به هر المان اجزای محدود ( $i$ ) در مسئله توپولوژی اختصاص داده می‌شوند.  $N$  تعداد المان‌ها،  $M$  تعداد قیدهای طراحی،  $\underline{CON}_j$  حد پایین،  $\overline{CON}_j$  حد بالا و  $CON_j$  مقدار محاسبه شده قید طراحی مرحله  $j$  است.

### ۲.۳. بهینه‌سازی توپولوژی بر مبنای بیشینه سختی استاتیکی با محدودیت حجم

در الگوریتم بهینه‌سازی توپولوژی، کمینه کردن تنش یا بیشینه سختی، منجر به جواب‌های تقریباً یکسانی می‌شود؛ از این رو در این مقاله از روش بیشینه سختی با کمترین مقدار ماده مصرفی برای شناسایی مناطق بحرانی استفاده شد. با توجه به اینکه دست‌یابی به بیشینه سختی، معادل کمینه شدن انرژی سازه است، فرمولاسیون کلی بهینه‌سازی توپولوژی بر مبنای بیشینه سختی برای شناسایی مناطق بحرانی به صورت زیر بیان می‌شود [۳۹، ۳۶].

<sup>۱</sup> Isotropic

با حل رابطه (۸)، ثابت‌های  $\alpha, H$  به شکل رابطه (۹) بر اساس مقاومت فشاری و کششی تعریف می‌شوند:

$$\alpha = \frac{f'_m - f_t}{\sqrt{3}(f'_m + f_t)}, \quad H = \frac{2f'_m f_t}{\sqrt{3}(f'_m + f_t)} \quad (9)$$

در نهایت با برابر قرار دادن روابط (۷) و (۹)، می‌توان پارامترهای زاویه اصطکاک داخلی و چسبندگی (برحسب MPa) را طبق رابطه (۱۰) بر اساس مقاومت فشاری و کششی تعریف نمود.

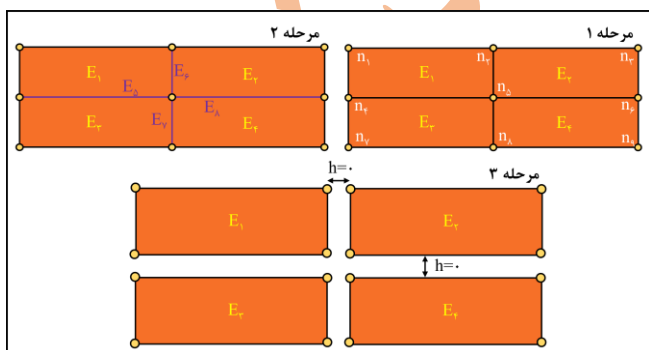
$$\phi = \text{Sin}^{-1} \left( \frac{3(f'_m - f_t)}{3f'_m + f_t} \right), \quad C = \frac{f'_m f_t (3 - \sin(\phi))}{3 \cos(\phi) (f'_m + f_t)} \quad (10)$$

در رابطه (۱۰) پارامترهای  $f_t, f'_m$  از نتایج آزمایشگاهی استخراج می‌شوند؛ با این وجود در صورتی که مقدار مقاومت کششی در دسترس نباشد می‌توان از رابطه (۱۱) استفاده کرد [۱۹].

$$0.03f'_m < f_t < 0.09f'_m \quad (11)$$

#### ۴.۳ مدل سازی سازه‌های بنایی در مقیاس مزو

در مدل سازی سازه‌های بنایی در مقیاس مزو روش گسسته سازی تکه‌ای<sup>۱</sup> (MFT) کاربرد دارد. این رویکرد منجر به کاهش قابل توجه زمان و هزینه محاسباتی در مقایسه با روش‌های مش بندی یکنواخت می‌شود. در این روش، واحد بنایی، درزهای افقی و قائم و المان تماسی بین واحدهای بنایی به صورت مزو مدل می‌شوند. مراحل انجام گسسته سازی تکه‌ای در شکل (۴) نشان داده شده است.



شکل ۴. روند گسسته سازی تکه‌ای در مدل سازی عددی نواحی بحرانی در مقیاس مزو

انرژی کرنشی در الگوریتم بهینه سازی رفتار نیمه ترد (یکسان نبودن مقاومت کششی و فشاری) مصالح در نظر گرفته شود. به صورتی که فرایند بهینه سازی به چند گام تقسیم شده و تنش کرنش هر گام به عنوان ورودی در گام بعد لحاظ می‌شود. در این حالت تانسور تنش کرنش در رابطه (۴) اصلاح شده و تانسور کرنش اولیه ( $\epsilon_{ij}^{initial}$ ) مطابق رابطه (۵) در تانسور تنش کرنش لحاظ می‌شود.

$$\epsilon_{ij} = \epsilon_{ij}^E + \epsilon_{ij}^{initial} + \epsilon_{ij}^T \quad (5)$$

#### ۳.۳ رفتار مواد نیمه ترد در معیار تسلیم دراگر-پراگر

با توجه به رفتار نیمه ترد سازه‌های بنایی، برای پیش بینی رفتار کلی این سازه‌ها می‌توان از معیار تسلیم دراگر-پراگر در مدل سازی عددی مقیاس ماکرو استفاده نمود [۱۶]. این معیار در سال ۱۹۵۲ [۴۰] مطابق رابطه (۶) فرموله شد.

$$F(\sigma) = \alpha J_1(\sigma) + \sqrt{J_2(\sigma)} - H \quad (6)$$

در رابطه (۶)،  $J_1, J_2$  ثابت‌های اول و دوم تانسور تنش انحرافی هستند؛ همچنین  $\alpha, H$  ثابت‌های معیار دراگر-پراگر هستند؛ که بر اساس مشخصات مصالح تغییر می‌کنند. آن‌ها را می‌توان توسط پارامترهای زاویه اصطکاک داخلی ( $\phi$ ) و چسبندگی ( $C$ ) به شکل رابطه (۷) بیان کرد [۱۸][۴۱].

$$\alpha = \frac{2 \sin(\phi)}{\sqrt{3}(3 - \sin(\phi))}, \quad H = \frac{6C \cos(\phi)}{\sqrt{3}(3 - \sin(\phi))} \quad (7)$$

برخی از مواد مانند بتن و منشور بنایی، ممکن است توسط مقاومت فشاری ( $f'_m$ ) و مقاومت کششی ( $f_t$ ) تعریف شوند؛ در این حالت با جاگذاری وضعیت تنش‌های اصلی به صورت ( $\sigma_1 = \sigma_2 = 0, \sigma_3 = -f'_m$ ) و ( $\sigma_1 = f_t, \sigma_2 = \sigma_3 = 0$ ) در رابطه (۶)، رابطه (۸) حاصل می‌شود [۱۸].

$$\begin{cases} -\alpha f'_m + \frac{1}{\sqrt{3}} f'_m - H = 0 \\ \alpha f_t + \frac{1}{\sqrt{3}} f_t - H = 0 \end{cases} \quad (8)$$

<sup>۱</sup> Mesh fragmentation technique

$$\tau_f = \begin{cases} -\mu\sigma & \text{if } \sigma < 0 \\ 0 & \text{if } \sigma > 0 \end{cases} \quad (14)$$

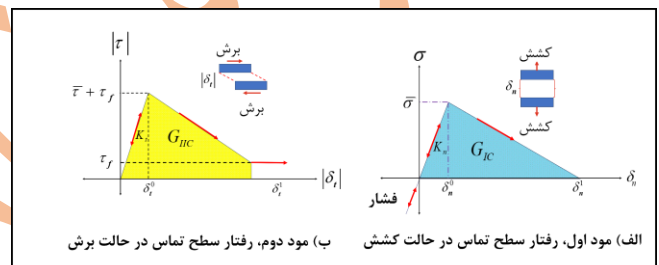
$$D = \sqrt{\left(\frac{G_I}{G_{IC}}\right)^2 + \left(\frac{G_{II}}{G_{IIC}}\right)^2} \quad (15)$$

در روابط (۱۲ تا ۱۵)،  $\bar{\sigma}$ ،  $\bar{\tau}$  به ترتیب مقدار مقاومت برشی و کششی المان تماسی،  $\delta_n^0$ ،  $\delta_t^0$  مقادیر جدایش المان تماسی در راستای نرمال و برشی،  $\delta_n^1$ ،  $\delta_t^1$  مقادیر نرمال و برشی جابه‌جایی در انتهای خرابی می‌باشند. در رابطه (۱۵)،  $G_{IC}$ ،  $G_{IIC}$  به ترتیب نرخ‌های انرژی بحرانی در کشش و برش (چقرمگی شکست)،  $G_I$ ،  $G_{II}$  به ترتیب مقدار انرژی جذب‌شده در راستای نرمال و برشی و در نهایت  $D$  شاخص خسارت است که مقداری بین ۰ تا ۱ دارد.

#### ۴. مدل‌های عددی

برای تایید رویکرد ارائه‌شده ابتدا یک نمونه دیوار برشی به‌منظور اعتبار سنجی و در ادامه به‌منظور روشن‌تر شدن موضوع، سه نمونه دیوار بنایی با شرایط مرزی و مصالح مختلف، مورد بررسی قرار گرفتند. تمامی مدل‌ها در دو حالت با مقیاس‌های "مزو" و "بهینه‌شده" مدل‌سازی و از نظر دقت نتایج و هزینه محاسباتی با هم مقایسه شدند. با توجه به فلوجارت شکل (۳)، روند ساخت مدل بهینه‌شده در دو مرحله انجام شد. در مرحله اول یا گام‌های بهینه‌سازی، مدل‌ها در مقیاس ماکرو و رفتار دراگر-پراگر تحت بهینه‌سازی توپولوژی قرار گرفتند. در ادامه پس از شناسایی نواحی بحرانی، در بخش‌های ماکرو مدل بهینه‌شده نیز از معیار دراگر-پراگر استفاده شد. برای بخش‌های مزو مدل بهینه‌شده و همچنین مدل‌های عددی مقیاس مزو از معیار منتری-ویلام برای آجرها و مدل CZM مطابق بخش ۳.۴ برای رفتار ملات استفاده شد. در جدول (۱) مدل‌های رفتاری و المان‌های مورد استفاده برای هر مرحله در مدل بهینه‌شده نشان داده شده‌است. در مقایسه هزینه محاسباتی تعداد معادلات مدل‌های عددی مورد مقایسه قرار گرفته‌اند. لازم به ذکر است برای مقایسه دقیق، مجموع

برای در نظر گرفتن رفتار ملات در بین آجرها، از مدل ناحیه چسبندگی<sup>۱</sup> (CZM) [۴۲] استفاده شد. این مدل گسترش ترک را بر مبنای قانون تنش-جدایش مدل‌سازی میکند و پیدایش شکست به عنوان یک پدیده تدریجی در نظر گرفته می‌شود. جزئیات بیشتر مدل CZM در مراجع [۴۲-۴۴] بیان شده‌است. در این مقاله با توجه به شکل (۵) در مدل CZM از رفتار دو خطی برای محاسبه تنش نرمال و برشی بین المان‌ها استفاده شد [۴۵] (روابط ۱۲-۱۵). در این مدل، رفتار در فشار به صورت خطی در نظر گرفته می‌شود. اما با توجه به اینکه مجموعه واحد بنایی و ملات عملکرد نهایی رفتار را منشور بنایی در مقیاس مزو را تعیین میکنند، رفتار مجموعه منشور بنایی در کشش و برش از CZM و در فشار مطابق معیار تسلیم واحد بنایی عمل میکند.



شکل ۵. تصویر مود اول و دوم مدل CZM در مدل‌سازی سطح تماس واحدهای بنایی

$$\sigma = \begin{cases} \bar{\sigma} \frac{\delta_n}{\delta_n^0}, & \text{if } \delta_n < \delta_n^0 \\ \frac{\delta_n^1 - \delta_n}{\delta_n^1 - \delta_n^0} \bar{\sigma}, & \text{if } \delta_n^0 < \delta_n < \delta_n^1 \\ 0, & \text{if } \delta_n \geq \delta_n^1 \end{cases} \quad (12)$$

$$|\tau| = \begin{cases} \frac{\delta_t}{\delta_t^0} (\bar{\tau} + \tau_f), & \text{if } |\delta_t| < \delta_t^0 \\ \frac{\delta_t^1 - \delta_t}{\delta_t^1 - \delta_t^0} (\bar{\tau} + \tau_f), & \text{if } \delta_t^0 < |\delta_t| < \delta_t^1 \\ \tau_f, & \text{if } |\delta_t| \geq \delta_t^1 \end{cases} \quad (13)$$

<sup>۱</sup>. Cohesive zone model



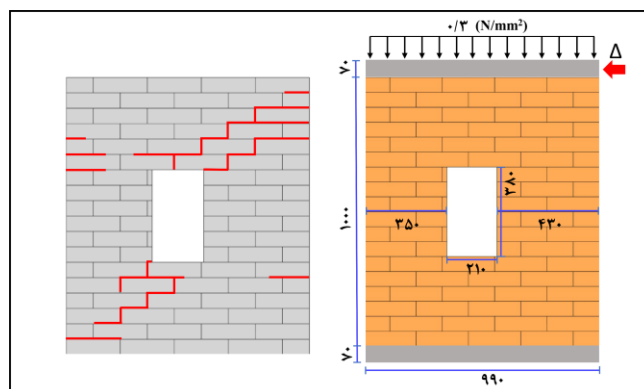
هزینه محاسباتی گام‌های بهینه‌سازی و مدل بهینه‌شده با مدل مزو مقایسه شده‌است.

جدول ۱. مشخصات رفتار و المان‌های مدل‌های بهینه‌شده

| مرحله | مقیاس | بخش            | مدل رفتاری  | نوع المان               |
|-------|-------|----------------|-------------|-------------------------|
| اول   | ماکرو | کل دیوار       | دراگر-پراگر | SOLID ۶۵                |
| دوم   | ماکرو | نواحی کم‌اهمیت | دراگر-پراگر | SOLID ۶۵                |
|       | مزو   | آجر            | منتری-ویلام | PLANE ۱۸۲               |
|       |       | ملات           | CZM         | CONTA ۱۷۲<br>Target ۱۶۹ |

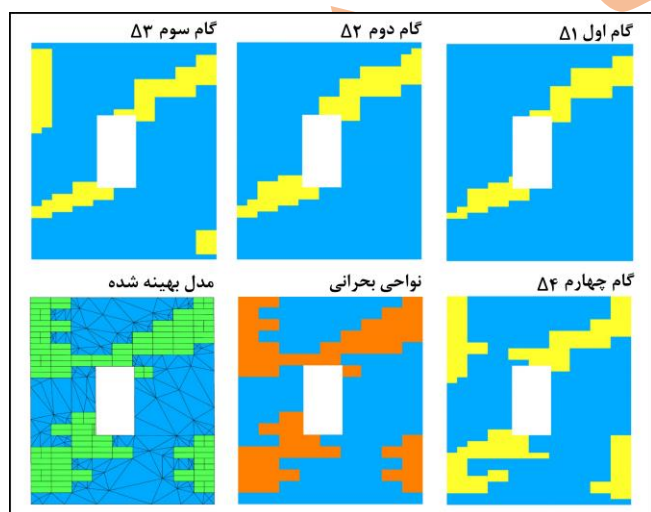
#### ۱.۴. مثال اعتبار سنجی

در این مثال بررسی روند ارائه شده توسط نمونه دیوار برشی بازشو دار ارائه شده‌است. دیوار در سال ۱۹۹۲ توسط Vermeltvoort و همکارانش [۴۶] به صورت شبه استاتیکی آزمایش شد و اساس کار بسیاری از محققین برای مطالعه سازه‌های بنایی و مدل‌های عددی قرار گرفت [۴۸][۴۷]. این دیوار به ضخامت  $100\text{ mm}$ ،  $100\text{ mm}$  ارتفاع و  $990\text{ mm}$  عرض دارد؛ که یک بازشو در وسط آن به صورت نامتقارن تعبیه شده و یک سربار ثابت به مقدار  $0.3\text{ Mpa}$  در بالای آن قرار دارد. در شکل (۶) شرایط مرزی و الگوی ترک خوردگی این دیوار نمایش داده شده‌است.



شکل ۶. شرایط مرزی و الگوی ترک خوردگی مدل دیوار برشی (ابعاد بر حسب میلی‌متر)

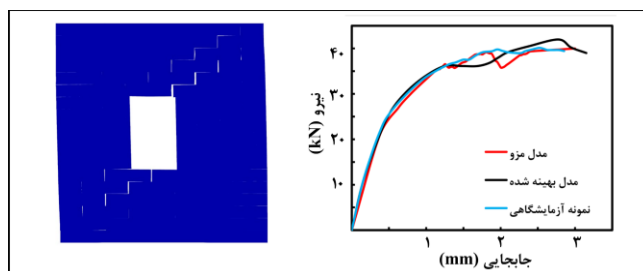
تقسیم شد. با توجه به اینکه حداکثر جابجایی دیوار طبق نتایج آزمایشگاهی ۳ میلی‌متر به دست آمده‌است، در گام اول دیوار با رفتار دراگر-پراگر به مقدار  $0.75$  میلی‌متر در راستای راست به چپ پوش داده شد و به صورت همزمان تحلیل بهینه‌سازی انجام گرفت. در انتهای فرایند گام اول، المان‌های بحرانی شناسایی شده توسط الگوریتم بهینه‌سازی، و مقدار تنش و کرنش هر المان که با توجه به معیار دراگر-پراگر بدست آمده‌اند ذخیره شدند. در گام دوم، دیوار در یک مدل جداگانه مجدد به میزان  $0.75$  میلی‌متر پوش داده شد و تنش کرنش گام اول، به عنوان تنش کرنش اولیه در شروع فرایند به المان‌ها اختصاص داده شد و مجدد تحلیل بهینه‌سازی انجام شد. وارد کردن تنش و کرنش حاصل از گام قبل در گام بعد باعث می‌شود تحلیل بهینه‌سازی توانایی شناسایی مناطقی که به صورت کششی تسلیم می‌شوند را نیز داشته باشد. در ادامه پس از اتمام فرایند بهینه‌سازی، نواحی بحرانی شناسایی شده در هر گام بهینه‌سازی به صورت تجمعی ذخیره و مدل بهینه‌شده ساخته شد. در شکل (۷) روند ساخت مدل بهینه‌شده نمایش داده شده‌است. سپس دیوار در مقیاس مزو مدل‌سازی و تحلیل شد و نتایج آن با مدل بهینه‌شده مورد مقایسه قرار گرفت. در شکل (۸) الگوی ترک خوردگی مدل مزو و نمودار نیرو-



شکل ۷. روند ساخت مدل عددی بهینه‌شده در مثال دیوار برشی

در جدول (۲) مشخصات مصالح مدل‌های عددی دیوار برشی طبق مرجع اصلی نمایش داده شده‌است. برای شناسایی نواحی بحرانی توسط الگوریتم ارائه شده، بارگذاری کلی دیوار به چند گام دلخواه

بهینه‌شده در مقایسه با مدل مزو و نمونه آزمایشگاهی مشاهده می‌شود. بیشتر بودن سختی اولیه و حداکثر نیرو در مدل بهینه‌شده ناشی از رفتار الاستیک پرفکتو پلاستیک<sup>۱</sup> المان‌های ماکرو است. هر مقدار المان‌های ماکرو در مدل عددی بیشتر باشند، سختی اولیه بیشتر خواهد بود. در شکل (۹) الگوی ترک‌خوردگی و کانتور توزیع تنش فون میسز مدل بهینه‌شده در مقایسه با مدل مزو نشان داده شده است.



شکل ۸. نمودار نیرو جابه‌جایی مدل‌های عددی در مقایسه با نمونه آزمایشگاهی به همراه الگوی ترک‌خوردگی مدل مزو

جابه‌جایی مدل‌های عددی در مقایسه با نتایج آزمایشگاهی نشان داده شده است. با توجه به شکل (۸) تطابق مناسبی بین رفتار مدل

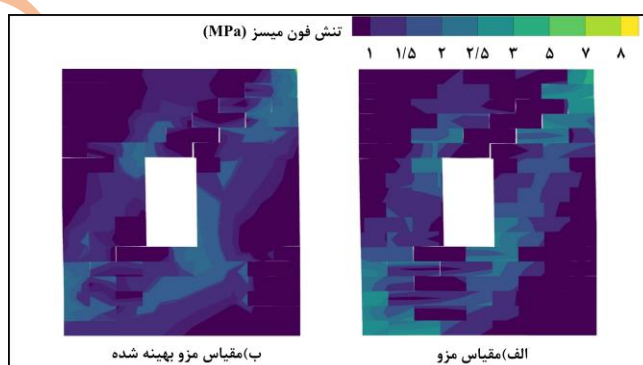
جدول ۲. مشخصات مصالح مثال دیوار برشی

| بخش         | $E$<br>(Gpa) | $\nu$ | $C$<br>(Mpa) | $\phi$<br>(°) | $G_I$<br>(N/mm) | $G_{II}$<br>(N/mm) | $f_t$<br>(MPa) | $f'_m$<br>(MPa) |
|-------------|--------------|-------|--------------|---------------|-----------------|--------------------|----------------|-----------------|
| منشور بنایی | ۸/۷          | ۰/۱۴  | ۰/۲۵         | ۳۶            | -               | -                  | ۰/۲۵           | ۱۰/۵            |
| ملات        | ۷/۸۲         | ۰/۱۴  | -            | -             | ۰/۰۱۸           | ۰/۱۲۵              | -              | -               |
| آجر         | ۱۶/۷         | ۰/۱۵  | -            | -             | -               | -                  | -              | -               |

کاهش پیدا کرده است. در اینجا منظور از هزینه محاسباتی تعداد معادلاتی است که مورد محاسبات قرار می‌گیرند؛ که با توجه به نوع تحلیل، شرایط مرزی سازه، مصالح، نوع المان و اندازه مش بندی متغیر است. تعداد معادلات با ضرب تعداد گره‌های هر المان در تعداد درجات آزادی آن محاسبه می‌شود. در این مثال در مدل مزو تعداد ۱۴۵۸۰ معادله مورد محاسبه قرار گرفت. از طرفی در مدل بهینه‌شده ۹۵۲۰ معادله و برای چهار گام بهینه‌سازی در مجموع ۱۹۴۴ معادله محاسبه شد؛ که کاهش ۲۱/۳ درصدی حجم محاسبات مقیاس بهینه‌شده نسبت به مقیاس مزو را نشان می‌دهد.

#### ۲.۴. مثال‌های عددی

در این بخش سه نمونه دیوار بنایی با شرایط مرزی مختلف برای درک بهتر روش ارائه‌شده به صورت عددی در مقیاس‌های مزو و مزو بهینه‌شده بررسی شد. شرایط مرزی دیوارها در شکل (۱۰) نمایش داده شده است. مثال اول یک وجه از یک سازه بنایی یک طبقه بازو



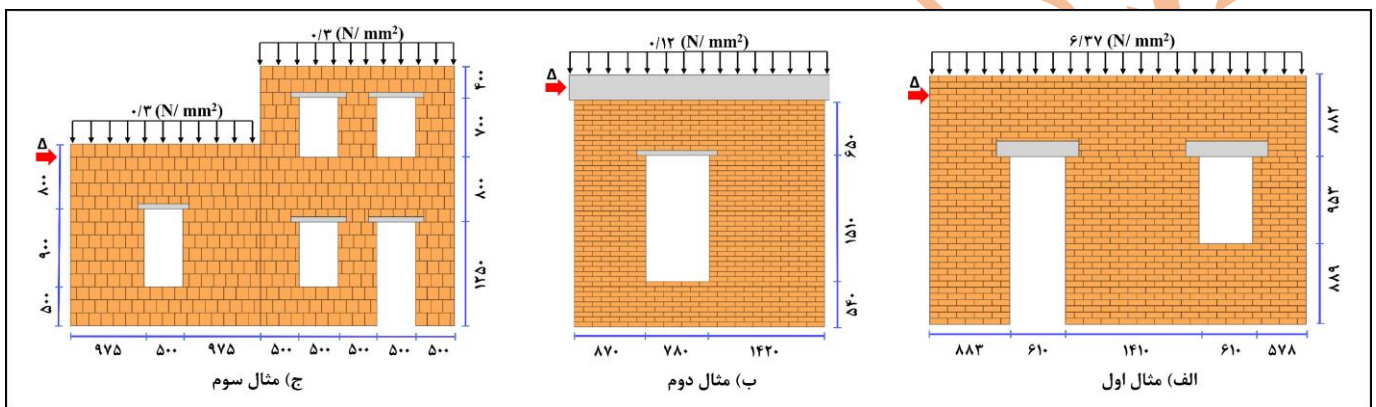
شکل ۹. الگوی ترک‌خوردگی و کانتور تنش فون میسز در مدل بهینه‌شده و مدل مزو

در شکل (۹) مدل مزو و بهینه‌شده تطابق مناسبی در الگوی ترک‌خوردگی و توزیع کانتور تنش نشان می‌دهند. به صورتی که ترک‌های قطری و تمرکز تنش در بالا و پایین قسمت بازو در مدل بهینه‌شده به خوبی مشهود است؛ که نمایانگر کارکرد صحیح الگوریتم ارائه شده است. هزینه محاسباتی در مدل بهینه‌شده به صورت مؤثری

<sup>۱</sup>. Elastic perfectly plastic

Drougkas و همکارانش [۵۲] به صورت آزمایشگاهی و عددی مورد مطالعه قرار گرفت. برای این دیوار یک سربار ثابت با شدت  $0.12 \text{ N/mm}^2$  در نظر گرفته شده است. در شکل (۱۰-ب) ابعاد و شرایط مرزی دیوار مثال دوم نمایش داده شده است. برای مثال سوم یک وجه از یک سازه بنایی دوطبقة در نظر گرفته شده است که در سال ۲۰۲۳ توسط Gagliardo و همکارانش [۵۳] به صورت آزمایشگاهی و عددی بررسی شد. این دیوار با ضخامت  $300 \text{ mm}$  از دو بخش مجزا تشکیل شده است؛ که بخش اول  $2450 \text{ mm}$  عرض و  $2200 \text{ mm}$  ارتفاع دارد و یک بازشو در وسط آن تعبیه شده است. بخش دوم با  $2500 \text{ mm}$  عرض و  $3150 \text{ mm}$  ارتفاع در دو طبقه

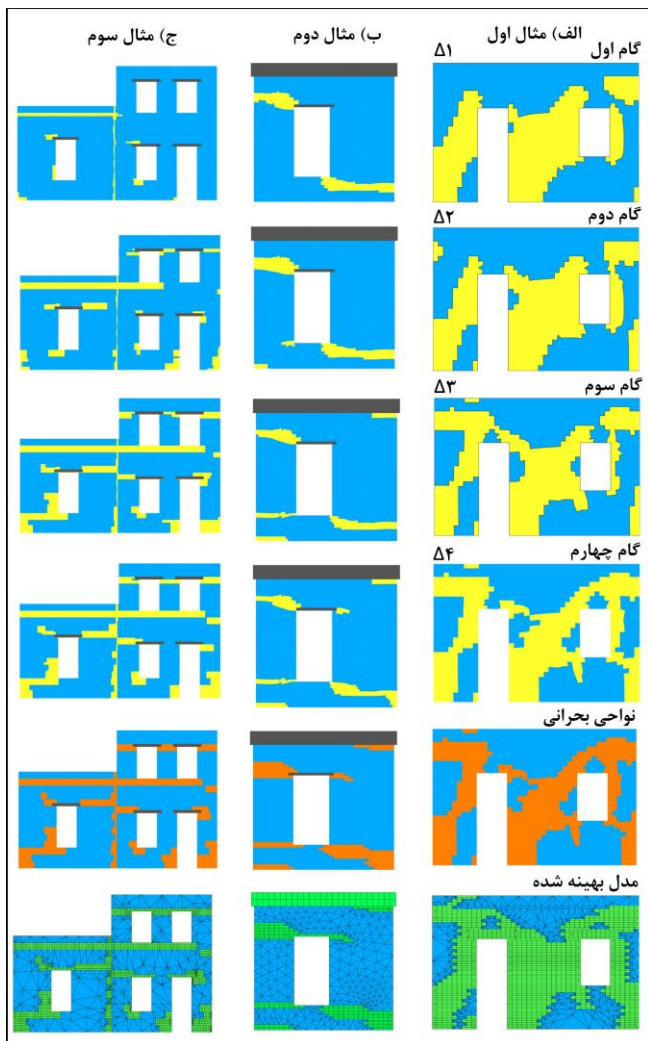
دار است که در سال ۲۰۰۶ توسط Paquette و همکارانش [۴۹] به صورت آزمایشگاهی مطالعه شد. این دیوار به ارتفاع  $2724 \text{ mm}$  و عرض  $4091 \text{ mm}$  یک وجه از یک سازه بنایی متقارن است که  $190 \text{ mm}$  ضخامت دارد و بار قائم با شدت  $6/37 \text{ N/mm}^2$  در بالای آن قرار دارد. در شکل (۱۰-الف) شرایط مرزی دیوار مورد نظر نمایش داده شده است. اطلاعات تکمیلی این دیوار را می توان در مراجع مشاهده کرد [۵۰, ۵۱]. مثال دوم یک دیوار برشی به ضخامت  $100 \text{ mm}$ ، ارتفاع  $3070 \text{ mm}$  و عرض  $2690 \text{ mm}$  است؛ که یک بازشو به صورت نامتقارن در آن در نظر گرفته شده است. این دیوار به منظور تأثیر بهسازی دیوارهای دارای ترک در سال ۲۰۲۰ توسط



شکل ۱۰. ابعاد و شرایط مرزی مثال های عددی (ابعاد بر حسب میلی متر)

جدول ۳. مشخصات مصالح مثال های عددی

| مثال عددی | بخش         | $E$<br>(Gpa) | $\nu$ | $C$<br>(Mpa) | $\phi$<br>(°) | $G_I$<br>(N/mm) | $G_{II}$<br>(N/mm) | $f_i$<br>(MPa) | $f'_m$<br>(MPa) |
|-----------|-------------|--------------|-------|--------------|---------------|-----------------|--------------------|----------------|-----------------|
| مثال اول  | منشور بنایی | ۱۸/۸         | ۰/۲   | ۰/۰۷۸        | ۳۲            | -               | -                  | ۰/۱۸           | ۲۲/۲            |
|           | ملات        | ۶/۵          | ۰/۲۲  | -            | -             | ۰/۰۰۱۷          | ۰/۰۱               | -              | -               |
|           | آجر         | ۲۰           | ۰/۱۸  | -            | -             | -               | -                  | -              | -               |
| مثال دوم  | منشور بنایی | ۳/۲          | ۰/۲   | ۰/۳          | ۳۵            | -               | -                  | ۰/۰۸           | ۱۳              |
|           | ملات        | ۱/۰۵         | ۰/۲   | -            | -             | ۰/۰۰۷           | ۰/۰۱۳              | -              | -               |
|           | آجر         | ۸            | ۰/۱۵  | -            | -             | -               | -                  | -              | -               |
| مثال سوم  | منشور بنایی | ۳/۴۶         | ۰/۱۸  | ۰/۲۳         | ۵۶            | -               | -                  | ۰/۱۷           | ۱/۳             |
|           | ملات        | ۲/۲          | ۰/۲   | -            | -             | ۰/۰۰۵           | ۰/۰۳               | -              | -               |
|           | آجر         | ۵/۴          | ۰/۱۵  | -            | -             | -               | -                  | -              | -               |



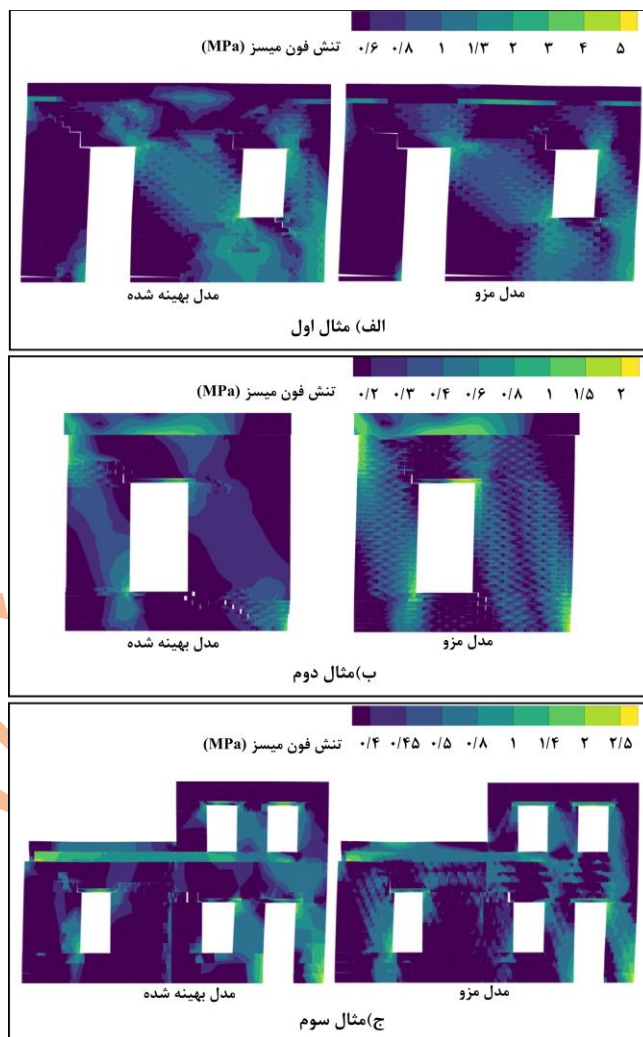
شکل ۱۱. گام‌های تحلیل بهینه‌سازی توپولوژی و ساخت مدل‌های بهینه  
مثال‌های عددی توسط نتایج تجمعی گام‌های بهینه‌سازی

در نواحی آسیب‌دیده به دلیل جدایش المان‌ها تنش منتقل نمی‌شود؛ درحالی‌که مناطقی که پس از ترک‌خوردگی سازه در انتقال نیرو شرکت کرده و دچار شکست نشده‌اند جریان تنش را تا تکیه‌گاه منتقل می‌کنند. به دلیل راستای چپ به راست بودن پوش، قسمت پایینی دیوار در سمت چپ دچار ترک‌خوردگی شده و انتقال نیرو در آن ناحیه متوقف شده‌است؛ درحالی‌که قسمت پایین در سمت راست تمرکز تنش را نمایش می‌دهد. نتایج بیان‌شده در مثال‌های دوم و سوم نیز مشاهده می‌شود، به‌صورتی که با توجه به شکل‌های (۱۲-ب) و (۱۲-ج)، تطابق الگوی ترک‌خوردگی و توزیع تنش فون میسر در مدل مزو و مدل بهینه‌شده آن‌ها مشاهده می‌شود.

بازشو دار در مجاورت قسمت اول قرار دارد. در این دیوار بار قائم با شدت  $0.3 \text{ N/mm}^2$  به‌صورت یکنواخت در بالای هر دو قسمت اعمال شده‌است. در شکل (۱۰-ج) ابعاد و شرایط مرزی مثال سوم نمایش داده شده‌است. تمامی مثال‌ها با شرایط مرزی ذکرشده و مشخصات مصالح جدول (۳) ابتدا در مقیاس ماکرو مدل‌سازی شدند و در چهار گام متوالی تحت تحلیل بهینه‌سازی توپولوژی قرار گرفتند. در ادامه با استفاده از نواحی شناسایی‌شده توسط الگوریتم بهینه‌سازی، مدل‌های بهینه‌شده ساخته شد و نتایج آن‌ها با مدل‌های مزو مورد مقایسه قرار گرفت. در شکل (۱۱) روند شناسایی نواحی بحرانی و ساخت مدل بهینه‌شده در مثال‌های عددی نشان داده شده‌است. در شکل (۱۲) الگوی ترک‌خوردگی و کانتور تنش فون میسر مدل بهینه‌شده و مدل مزو در مثال‌های عددی نشان داده شده‌است. همان‌طور که در مدل‌های بهینه‌شده مشاهده می‌شود، نواحی مستعد آسیب به‌خوبی توسط الگوریتم شناسایی شده‌اند و جدایش بین واحدهای بنایی در هر سه مثال در مدل بهینه‌شده به‌خوبی مشهود است. تطابق بین الگوهای ترک‌خوردگی مدل بهینه‌شده و مدل مزو، بیانگر این است که می‌توان با در نظر گرفتن صرفاً مدل بهینه‌شده در مدل‌سازی سازه‌های بنایی، در کنار نتایج با دقت بالا از هزینه پایین محاسباتی نیز بهره برد. در دیوار مثال اول مطابق شکل (۱۲-الف)، جدایش واحدهای بنایی در گوشه بالای هر دو بازشو به‌خوبی مشهود است؛ همچنین در پایین دیوار نیز ترک‌های کششی به‌خوبی مشاهده می‌شوند.

شکل ۱۲. الگوی ترک خوردگی و کانتور تنش فون میسز در مثال‌های عددی

لازم به ذکر است در مثال دوم و سوم نیز به خوبی توقف نیرو در المان‌های آسیب‌دیده و تمرکز تنش در المان‌های هدایت‌کننده جریان نیرو به خوبی مشهود است. در شکل (۱۳) نمودار نیرو-جابجایی مثال‌های عددی نمایش داده شده است. در این شکل تطابق مناسبی بین نمودارهای مدل‌های بهینه‌شده و مدل‌های مزو مشاهده می‌شود. لازم به ذکر است بیشتر بودن سختی و بیشینه نیروی اولیه در مدل‌های بهینه‌شده نسبت به مدل‌های مزو ناشی از وجود بخش‌های ماکرو و رفتار الاستیک پرفکتو پلاستیک آن‌ها است.



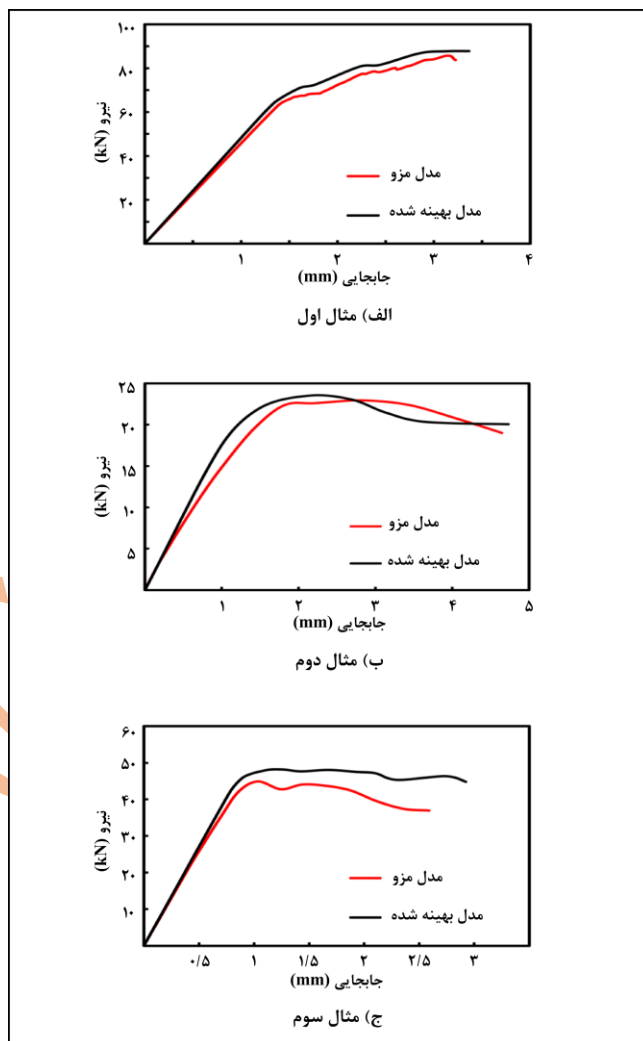
جدول ۴: هزینه محاسباتی مثال‌های عددی

| مقدار کاهش هزینه محاسباتی (درصد) | فرایند بهینه‌سازی | معادلات مقیاس بهینه‌شده | معادلات مقیاس مزو |          |
|----------------------------------|-------------------|-------------------------|-------------------|----------|
| ۱۵/۶                             | ۵۴۲۲              | ۲۸۸۷۸                   | ۴۰۶۶۸             | مثال اول |
| ۶۳/۶                             | ۹۸۲۶              | ۱۷۰۱۸                   | ۷۳۶۹۸             | مثال دوم |
| ۵۸/۶                             | ۹۹۲۰              | ۲۰۸۹۸                   | ۷۴۴۰۰             | مثال سوم |

مدل مزو مثال سوم تعداد ۷۴۴۰۰ معادله مورد محاسبه قرار گرفت. برای فرایند بهینه‌سازی ۹۹۲۰ معادله و مدل بهینه‌شده ۲۰۸۹۸ معادله محاسبه شد و هزینه محاسباتی به میزان ۵۸/۶ درصد نسبت به مقیاس مزو کاهش پیدا کرد. در جدول (۴) تعداد معادلات مراحل مختلف و مقدار درصد کاهش هزینه محاسباتی در هر مثال نمایش داده شده است.

## ۵. نتیجه‌گیری

در این مقاله روش جدیدی با استفاده از ترکیب بهینه‌سازی توپولوژی و معیار تسلیم دراگر-پراگر برای کاهش حجم محاسبات تحلیل سازه‌های بنایی در مقیاس مزو ارائه شد. در روش پیشنهادی ابتدا مدل‌های عددی در مقیاس ماکرو با رفتار دراگر-پراگر به صورت عددی مدل شده و در ادامه در چند گام متوالی تحت تحلیل بهینه‌سازی توپولوژی با هدف بیشینه سختی و محدودیت توزیع ماده قرار گرفتند. در انتهای هر گام نتایج تنش و کرنش المان‌ها ذخیره شده و به عنوان ورودی در گام بعد مورد استفاده قرار گرفتند. این رویکرد باعث شده که در فرایند بهینه‌سازی سختی، طراحی بهینه توانایی شناسایی مناطقی که بر اثر کرنش پلاستیک آسیب‌دیده‌اند را نیز داشته باشد. در ادامه، نواحی شناسایی شده توسط الگوریتم بهینه‌سازی به صورت تجمعی ذخیره شده و نواحی مستعد آسیب را در مدل سازه بنایی شکل دادند. در نهایت با تشکیل مدل بهینه‌شده، نواحی شناسایی شده از الگوریتم بهینه‌سازی در مقیاس مزو و سایر نواحی در مقیاس ماکرو مدل‌سازی شدند. در مدل بهینه‌شده تعداد المان‌های مقیاس مزو کاهش یافت و جای خود را به المان‌های ماکرو دادند؛ لذا هزینه محاسباتی به مقدار قابل توجهی کاهش پیدا کرد. در ادامه روش ارائه شده توسط چهار مثال عددی با شرایط مرزی مختلف تایید و بررسی شد. مشاهده شد که الگوریتم به درستی نواحی مستعد آسیب را شناسایی نموده و مدل‌های مقیاس بهینه تطابق مناسبی از نظر رفتار و الگوی ترک‌خوردگی در مقایسه با نمونه‌های در مقیاس مزو نشان می‌دهند. در مدل‌های مطالعه شده هزینه محاسباتی به شکل مؤثری کاهش پیدا کرد به صورتی که در مدل اعتبار سنجی ۲۱/۳ درصد، مدل عددی مثال اول ۱۵/۶ درصد، مدل عددی مثال دوم ۶۳/۶ درصد و مدل عددی مثال سوم ۵۸/۶ درصد کاهش هزینه محاسباتی در مقایسه با مدل‌های مقیاس مزو مشاهده شد.



شکل ۱۳. مقایسه نمودارهای نیرو-جابجایی مثال‌های عددی در مدل‌های مزو و بهینه‌شده

همان‌طور که ذکر شد تعداد معادلات مورد محاسبه با هزینه محاسباتی رابطه مستقیم دارد. در مدل مزو مثال اول تعداد ۴۰۶۶۸ معادله مورد محاسبه قرار گرفت. برای فرایند بهینه‌سازی در مجموع ۵۴۲۲ معادله و مدل بهینه‌شده ۲۸۸۷۸ معادله محاسبه شد؛ که کاهش ۱۵/۶ درصدی حجم محاسبات مقیاس بهینه‌شده نسبت به مقیاس مزو را در این مثال نشان می‌دهد. برای مثال دوم در مدل مقیاس مزو ۷۳۶۹۸ معادله، فرایند بهینه‌سازی ۹۸۲۶ معادله و مدل بهینه‌شده ۱۷۰۱۸ معادله محاسبه شد؛ که کاهش ۶۳/۵ درصدی را در مدل بهینه‌شده نسبت به مدل مزو نشان می‌دهد؛ و در نهایت در

- behaviour of rubbercrete. *Computers and Structures*, 242.  
<https://doi.org/10.1016/j.compstruc.2020.106393>
١١. Gregori, A., Castoro, C., Mercuri, M., & Angiolilli, M. (2020). *Modeling the Mechanical Response of Rubberised Concrete*. In *Advanced Structured Materials* (Vol. 132, pp. 341–352).  
[https://doi.org/10.1007/978-3-030-50464-9\\_19](https://doi.org/10.1007/978-3-030-50464-9_19)
  ١٢. Oukhlef, A., Latrache, N., Champmartin, S., & Maiss, M. (2023). *Identification of the pore size distribution of a porous medium using oscillating Newtonian fluids*. *Physics Letters, Section A: General, Atomic and Solid State Physics*, 460(5), 509. <https://doi.org/10.1016/j.physleta.2022.128615>
  ١٣. Couto, R., Bento, R., & Gomes, R. C. (2020). *Seismic performance and fragility curves of historical residential buildings in Lisbon downtown affected by settlements*. *Bulletin of Earthquake Engineering*, 18(11), 5281–5307.  
<https://doi.org/10.1007/s10518-020-00906-z>
  ١٤. Proserpi, A., Korswagen, P. A., Korff, M., Schipper, R., & Rots, J. G. (2023). *Empirical fragility and ROC curves for masonry buildings subjected to settlements*. *Journal of Building Engineering*, ٤٨(February), ١٠٤٠٩٤.  
<https://doi.org/10.1016/j.jobe.2023.106094>
  ١٥. Korany, Y. (2003). *Mechanics and Modeling of URM Structures*. *Proceedings of International Short Course on Architectural and Structural Design of Masonry*, 1–28.
  ١٦. Abdulla, K. F., Cunningham, L. S., & Gillie, M. (2017). *Simulating masonry wall behaviour using a simplified micro-model approach*. *Engineering Structures*, 151, 349–365.  
<https://doi.org/10.1016/j.engstruct.2017.08.021>
  ١٧. Peng, B., Wang, D., Zong, G., & Zhang, Y. (2018). *Homogenization strategy for brick masonry walls under in-plane loading*. *Construction and Building Materials*, 163, 656–667.  
<https://doi.org/10.1016/j.conbuildmat.2017.12.133>
  ١٨. Luo, Y., & Kang, Z. (2012). *Topology optimization of continuum structures with Drucker-Prager yield stress constraints*. *Computers and Structures*, 90–91(1), 65–75.  
<https://doi.org/10.1016/j.compstruc.2011.10.008>
  ١٩. Tomazevic, M. (1999). *Earthquakes and Seismic Performance of Masonry Buildings* (pp. 5–33).  
[https://doi.org/10.1142/9781848160835\\_0002](https://doi.org/10.1142/9781848160835_0002)
  ١. Varum, H., Parisi, F., Tarque, N., & Silveira, D. (2021). *Structural Characterization and Seismic Retrofitting of Adobe Constructions* (Vol. 20). Springer.
  ٢. Bilgin, H., & Hysenliu, M. (2020). *Comparison of near and far-fault ground motion effects on low and mid-rise masonry buildings*. *Journal of Building Engineering*, 30, 101248.  
<https://doi.org/10.1016/j.jobe.2020.101248>
  ٣. Latifi, R., & Rouhi, R. (2020). *Seismic assessment and retrofitting of existing RC structures: Seismostruct and seismobuild implementation*. *Civil Engineering and Architecture*, 8(2), 84–93.  
<https://doi.org/10.13189/cea.2020.080206>
  ٤. Shadlou, M., Ahmadi, E., & Kashani, M. M. (2020). *Micromechanical modelling of mortar joints and brick-mortar interfaces in masonry Structures: A review of recent developments*. *Structures*, 23, 831–844. <https://doi.org/10.1016/j.istruc.2019.12.017>
  ٥. Gregori, A., Mercuri, M., Angiolilli, M., & Pathirage, M. (2022). *Simulating defects in brick masonry panels subjected to compressive loads*. *Engineering Structures*, 263.  
<https://doi.org/10.1016/j.engstruct.2022.114333>
  ٦. Weber, M., Thoma, K., & Hofmann, J. (2021). *Finite element analysis of masonry under a plane stress state*. *Engineering Structures*, 226.  
<https://doi.org/10.1016/j.engstruct.2020.111214>
  ٧. Lubliner, J., Oliver, J., Oller, S., & Oñate, E. (1989). *A plastic-damage model for concrete*. *International Journal of Solids and Structures*, 25(3), 299–326. [https://doi.org/10.1016/0020-7683\(89\)90050-4](https://doi.org/10.1016/0020-7683(89)90050-4)
  ٨. Zhao, X., Dong, Q., Chen, X., & Ni, F. (2021). *Meso-cracking characteristics of rubberized cement-stabilized aggregate by discrete element method*. *Journal of Cleaner Production*, 316.  
<https://doi.org/10.1016/j.jclepro.2021.128374>
  ٩. Zeng, B., Li, Y., & Cruz Noguez, C. (2021). *Modeling and parameter importance investigation for simulating in-plane and out-of-plane behaviors of un-reinforced masonry walls*. *Engineering Structures*, 248.  
<https://doi.org/10.1016/j.engstruct.2021.113233>
  ١٠. Gregori, A., Castoro, C., Mercuri, M., & Angiolilli, M. (2021). *Numerical modelling of the mechanical*

- <https://doi.org/10.1016/j.compstruct.2017.11.088>
۳۱. Li, Y., Yuan, P. F., & Xie, Y. M. (2023). Topology optimization of structures composed of more than two materials with different tensile and compressive properties. *Composite Structures*. <https://doi.org/10.1016/j.compstruct.2022.116609>
۳۲. Sanders, E. D., Aguiló, M. A., & Paulino, G. H. (2018). Multi-material continuum topology optimization with arbitrary volume and mass constraints. *Computer Methods in Applied Mechanics and Engineering*, 340, 798–823. <https://doi.org/10.1016/j.cma.2018.01.032>
۳۳. Sanders, E. D., Pereira, A., & Paulino, G. H. (2021). Optimal and continuous multilattice embedding. *Science Advances*, 7(16). <https://doi.org/10.1126/sciadv.abf4838>
۳۴. Wu, J., Sigmund, O., & Groen, J. P. (2021). Topology optimization of multi-scale structures: a review. *Structural and Multidisciplinary Optimization*, 63(3), 1455–1480. <https://doi.org/10.1007/s00158-021-02881-8>
۳۵. Li, Q., Steven, G. P., & Xie, Y. M. (1999). On equivalence between stress criterion and stiffness criterion in evolutionary structural optimization. *Structural Optimization*, 18(1), 67–73. <https://doi.org/10.1007/BF01210693>
۳۶. McKeown, J. J. (1997). A note on the equivalence between maximum stiffness and maximum strength trusses. *Engineering Optimization*, 29(1–4), 443–456. <https://doi.org/10.1080/03052159708941007>
۳۷. Papadrakakis, M., Tsompanakis, Y., Hinton, E., & Siuz, J. (1996). Advanced solution methods in topology optimization and shape sensitivity analysis. *Engineering Computations* (Swansea, Wales), 13(5), 57–90. <https://doi.org/10.1108/02644409610120696>
۳۸. Eschenauer, H. A., & Olhoff, N. (2001). Topology optimization of continuum structures: A review. *Applied Mechanics Reviews*, 54(4), 331–390. <https://doi.org/10.1115/1.1388075>
۳۹. Munk, D. J., Vio, G. A., & Steven, G. P. (2015). Topology and shape optimization methods using evolutionary algorithms: a review. *Structural and Multidisciplinary Optimization*, 52(3), 613–631. <https://doi.org/10.1007/s00158-015-1261-9>
۴۰. Drucker, D. C., & Prager, W. (1952). Soil mechanics and plastic analysis or limit design. *Quarterly of Applied Mathematics*, 10(2), 157–165.
۲۰. Christensen, P. W., & Klarbring, A. (2008). An introduction to structural optimization. *Solid Mechanics and its Applications*, 153, 1–220. [https://doi.org/10.1007/978-1-4020-8666-3\\_1](https://doi.org/10.1007/978-1-4020-8666-3_1)
۲۱. BENDSOE, M. P., & SIGMUND, O. (2003). *Topology Optimization - Theory, Methods, and Applications*.
۲۲. Bendsoe, M. P. (1989). Optimal shape design as a material distribution problem. *Structural Optimization*, 1(4), 193–202. <https://doi.org/10.1007/BF01650949>
۲۳. Bendsoe, M. P., & Sigmund, O. (1999). Material interpolation schemes in topology optimization. *Archive of Applied Mechanics*, 69(9–10), 635–654. <https://doi.org/10.1007/s004190050248>
۲۴. Querin, O. M., Steven, G. P., & Xie, Y. M. (1998). Evolutionary structural optimisation (ESO) using a bidirectional algorithm. *Engineering Computations* (Swansea, Wales), 15(8), 1031–1048. <https://doi.org/10.1108/02644409810244129>
۲۵. Martin Philip Bendsoe, & Noboru Kikuchi. (1988). Generating optimal topologies in structural design using a homogenization method. *Computer Methods in Applied Mechanics and Engineering* (Vol. 71).
۲۶. Yang, X. Y., Xie, Y. M., Steven, G. P., & Querin, O. M. (1999). Bidirectional evolutionary method for stiffness optimization. *AIAA Journal*, 37, 1483–1488. <https://doi.org/10.2514/3.14346>
۲۷. Gangl, P. (2020). A multi-material topology optimization algorithm based on the topological derivative. *Computer Methods in Applied Mechanics and Engineering*, 366, 113090. <https://doi.org/10.1016/j.cma.2020.113090>
۲۸. Liu, P., Shi, L., & Kang, Z. (2020). Multi-material structural topology optimization considering material interfacial stress constraints. *Computer Methods in Applied Mechanics and Engineering*, 363, 112887. <https://doi.org/10.1016/j.cma.2020.112887>
۲۹. Huang, X., & Xie, Y. M. (2009). Bi-directional evolutionary topology optimization of continuum structures with one or multiple materials. *Computational Mechanics*, 43(3), 393–401. <https://doi.org/10.1007/s00466-008-0312-0>
۳۰. Banh, T. T., & Lee, D. (2018). Multi-material topology optimization design for continuum structures with crack patterns. *Composite Structures*, 186, 193–209.



- dynamic testing of unreinforced masonry building with flexible diaphragm and comparison with existing procedures. *Construction and Building Materials*, 20(4), 220–228.  
<https://doi.org/10.1016/j.conbuildmat.2005.08.025>
۵۲. Drougkas, A., Licciardello, L., Rots, J. G., & Esposito, R. (2020). In-plane seismic behaviour of retrofitted masonry walls subjected to subsidence-induced damage. *Engineering Structures*, 223(May), 111192.  
<https://doi.org/10.1016/j.engstruct.2020.111192>
۵۳. Gagliardo, R., Godio, M., Portioli, F. P. A., & Landolfo, R. (2023). Seismic analysis of failure mechanisms in adjacent interacting stone masonry buildings via rigid block modeling. *Bulletin of Earthquake Engineering*, (0123456789).  
<https://doi.org/10.1007/s10518-023-01659-1>
- <https://doi.org/10.1090/qam/48291>
۴۱. Chen, W. F., & Han, D. J. (1988). *Plasticity for Structural Engineers*. Plasticity for Structural Engineers. J. Ross publishing.  
<https://doi.org/10.1007/978-1-4612-3864-5>
۴۲. Alfano, G., & Crisfield, M. A. (2001). Finite element interface models for the delamination analysis of laminated composites: Mechanical and computational issues. *International Journal for Numerical Methods in Engineering*, 50(7), 1701–1736. <https://doi.org/10.1002/nme.93>
۴۳. Park, K., & Paulino, G. H. (2011). Cohesive zone models: A critical review of traction-separation relationships across fracture surfaces. *Applied Mechanics Reviews*, 64(6).  
<https://doi.org/10.1115/1.4023110>
۴۴. Nguyen, V. P., Lian, H., Rabczuk, T., & Bordas, S. (2017). Modelling hydraulic fractures in porous media using flow cohesive interface elements. *Engineering Geology*, 225, 68–82.  
<https://doi.org/10.1016/j.enggeo.2017.04.010>
۴۵. computed tomography images based phase-field modeling of mesoscopic failure in concrete. (n.d.).
۴۶. Deformation controlled tests in masonry shear walls Raijmakers, TMJ and Vermeltfoort, A. T. (1992). Deformation controlled tests in masonry shear walls. holandés), Report B-92-1156, TNO-Bouw, Delft, Países Bajos.
۴۷. Rahbar, E., Permanoon, A., & Akhaveissy, A. H. (2023). Numerical evaluation of Masonry-Infill Frames: Analysis of lateral strength and failure modes on meso scale. *Structures*.  
<https://doi.org/10.1016/j.istruc.2023.04.026>
۴۸. Vandoren, B., De Proft, K., Simone, A., & Sluys, L. J. (2013). Mesoscopic modelling of masonry using weak and strong discontinuities. *Computer Methods in Applied Mechanics and Engineering*, 255, 167–182. <https://doi.org/10.1016/j.cma.2012.11.005>
۴۹. Paquette, J., & Bruneau, M. (2003). Pseudo-dynamic testing of unreinforced masonry building with flexible diaphragm. *Journal of structural engineering*, 129(6), 708–716.
۵۰. Akhaveissy, A. H. (2013). Limit state strength of unreinforced masonry structures. *Earthquake Spectra*, 29(1), 1–31.  
<https://doi.org/10.1193/1.4000097>
۵۱. Paquette, J., & Bruneau, M. (2006). Pseudo-